

有 限 反 常 核

张启仁 李训贵*

(北京大学技术物理系, 100871)

摘 要

从一个相对论性核模型解得了有限反常核, 并找到了两个临界质量数 $A_1 = 85$ 和 $A_2 = 165$, 只当质量数 $A \geq A_1$ 时才存在束缚的反常核, 当 $A \geq A_2$ 时反常核的每核子结合能大于正常核. 当 $A > 3310$ 时反常核由于库伦能而变得非束缚.

李政道等首先提出的关于存在反常核态的可能性^[1]从两方面使人感兴趣: 一方面是其关于粒子性质依赖于环境的深刻物理思想, 另一方面是其作为大大强于裂变与聚变的新核能源应用的可能性. 按李的理论, 核物质是一浸泡在标量介子场中的具硬心的核子组成的系统, 核结合来自它们与标量场的作用, 而饱和则来自它们的硬心之间的排斥. 硬心的作用由范德瓦耳斯近似处理. 有人担心硬心概念的非相对论性质, 并认为范德瓦耳斯近似在核物理中的应用尚有待论证. 他们宁可采用 Walecka^[2]提出的相对论平均场理论 (RMF), 其中硬心由一矢量场取代. 虽然这一理论是完全相对论的, 正常核态数据却只能由一不具手征对称的标量场符合^[3]. 核物质压缩模数的计算值也过大. 引进真空重整化项后, 核物质的计算结果有所改进^[4]. 然而由手征对称 σ 模型仍解不出有限正常核^[5]. RMF 理论的更严重和基本的问题是, 强子的扩张结构使关于它的定域场论成为无稽. 欲用场论描写强子系统, 须在其组态空间中挖去其扩张结构占据的体积. 这就意味着引进硬心. 为此, 采用范德瓦耳斯近似是颇为直观的. 下面我们将按李政道等最初的思路做. 要求近似的手征对称, 我们从正常核态数据, 包括压缩模数 $K = 240\text{MeV}$, 定得一组模型参数. 在略高的核密度处找到了反常核态, 并找到了有限反常核解. 因此可以说, 反常核态概念与现有的正常核数据相容.

考虑由核子与标量场组成的系统, 用 ψ 表示核子场, ϕ 表示标量场, 这系统的拉氏函数密度可取为

$$\mathcal{L} = -\bar{\psi}(\gamma_\mu \partial_\mu + m)\psi - g\phi\bar{\psi}\psi - \frac{1}{2} \partial_\mu\phi\partial_\mu\phi - U,$$

U 为 ϕ 的四次多项式, 对 ϕ 取平均场近似, ψ 则量子化为核子系统, 对无限大静态均匀核物质 $\partial_\mu\phi = 0$. 利用积分公式

本文 1991 年 2 月 6 日收到.

* 永久通讯处: 湖南湘潭, 湘潭师范学院物理系.

$$\int_0^P \sqrt{\eta^2 + \chi^2} \eta^2 d\eta = \frac{1}{4} \left\{ P^3 \sqrt{P^2 + \chi^2} + \frac{1}{2} P \chi^2 \sqrt{P^2 + \chi^2} - \frac{1}{2} \chi^4 \ln \left(\frac{P}{\chi} + \sqrt{1 + \frac{P^2}{\chi^2}} \right) \right\}.$$

可得核物质中每核子平均能量。在恢复各量应有的量纲后, 它可表为

$$\varepsilon = mc^2 \left\{ \frac{3}{4} \left[\left(1 + \frac{\chi^2}{2P^2} \right) \sqrt{P^2 + \chi^2} - \frac{\chi^4}{2P^3} \ln \left(\frac{P}{\chi} + \sqrt{1 + \frac{P^2}{\chi^2}} \right) \right] + \frac{4}{9\pi\alpha} \left(\frac{r}{\lambda} \right)^3 (1 - \chi)^2 [1 + \alpha_1(1 - \chi) + \alpha_2(1 - \chi)^2] \right\}, \quad (1)$$

它是我们过去工作^[6-8]的相对论性推广。其中含第一个方括号的项为核子本身能量的贡献, 含第二个方括号的项则为标量场势能密度 U 在每核子平均占有的体积内的贡献;

$$\alpha = \frac{2g^2 m^2}{3\pi^2 m_s^2}, \quad \lambda = \frac{\hbar}{mc}; \quad (2)$$

$$P = \left(\frac{9\pi}{8} \right)^{1/3} \frac{\lambda}{r - a}. \quad (3)$$

是经范德瓦耳斯近似修正过的核子的费米动量, a 与核子硬心半径 r_c 有关。李政道曾用关系

$$a = 0.8r_c, \quad (4)$$

它是黄克逊等^[9]导得结果的数值模拟^[10], r 为每核子占据的线度, 与核子数密度 ρ 的关系为

$$\rho = \left(\frac{4\pi}{3} r^3 \right)^{-1}, \quad (5)$$

m 为核子质量, m_s 为标量介子质量,

$$\chi = 1 - \frac{g\hbar\phi}{mc} \quad (6)$$

为标量介子场中核子以 m 为单位的有效质量, g 为核子与标量介子的耦合常数。真空值 $\chi = 1$ 应为标量介子场势能密度

$$U = \frac{mc^2}{3\pi^2\alpha\lambda^3} (1 - \chi)^2 [1 + \alpha_1(1 - \chi) + \alpha_2(1 - \chi)^2] \quad (7)$$

的绝对极小。这是加在参数 α_1 和 α_2 上的一个条件。在完全手征对称的理论中 $\alpha_1 = -1$, $\alpha_2 = 0.25$ 。实际上它们应接近此值。

要求正常核物质在 $r = 1.175\text{fm}$ 的经验密度处达到 ε 的极小值 $939 - 15.986 = 923.014\text{MeV}$ ^[11], 且压缩模数取经验值 $K = 240\text{MeV}$, 我们得到一组近似手征对称参数

$$\alpha_1 = -1.06, \quad \alpha_2 = 0.285, \quad (8)$$

$$\alpha = 9.76, \quad a = 0.6\text{fm}, \quad (9)$$

相应有效核子质量 $\chi = 0.71$ 。如用(4)计算, 则从(9)的第二式将得硬心半径 $r_c = 0.75\text{fm}$ 。下面我们还需要以 λ_s^{-3} 为单位的核子数密度的表达式

$$\rho = \frac{\alpha\beta P^3}{4\pi(1 + bP)^3}, \quad (10)$$

其中 $\lambda_s = \frac{\hbar}{m_s c}$ 为标量介子的康普顿波长,

$$b = \left(\frac{8}{9\pi}\right)^{1/3} \frac{a}{\lambda}, \quad (11)$$

$$\beta = \frac{4\pi m}{g^2 m_s}. \quad (12)$$

具参数(8)与(9)的核物质在 $r = 1.06\text{fm}$ 的略高密度处有另一平衡态, 其中核子有效质量 $\chi = -0.14$ 很小, 每核子结合能 $939 - \varepsilon = 69\text{MeV}$ 很大, 且压缩模数高达 $K = 7431\text{MeV}$. 这就是李政道等最初预言的反常核态^[4].

按局域密度近似, 一有限球对称核的质量数和能量分别为

$$A = \alpha\beta J_1, \quad (13)$$

$$E = mc^2 \left(\alpha\beta J_2 + \frac{\beta}{2} J_3 \right), \quad (14)$$

其中

$$J_1 = \int_0^{\xi_0} \frac{P^3}{(1+bP)^3} \xi^2 d\xi, \quad (15)$$

$$J_2 = \int_0^{\xi_0} \frac{3}{4(1+bP)^3} \left\{ \left(P^2 + \frac{\chi^2}{2} \right) P \sqrt{P^2 + \chi^2} - \frac{\chi^4}{2} \ln \left[\frac{P}{\chi} + \sqrt{1 + \frac{P^2}{\chi^2}} \right] \right\} \xi^2 d\xi, \quad (16)$$

$$J_3 = \int_0^{\infty} \left\{ \left(\frac{d\chi}{d\xi} \right)^2 + (1-\chi)^2 + \alpha_1(1-\chi)^3 + \alpha_2(1-\chi)^4 \right\} \xi^2 d\xi. \quad (17)$$

固定 A , 变更 $\chi(\xi)$ 和 $P(\xi)$, 令 E 取极小, 得

$$\frac{d^2\chi}{d\xi^2} + \frac{2}{\xi} \frac{d\chi}{d\xi} - \chi = \frac{3\alpha P \chi}{2(1+bP)^3} \left[\sqrt{P^2 + \chi^2} - \frac{\chi^2}{P} \ln \left(\frac{P}{\chi} + \sqrt{1 + \frac{P^2}{\chi^2}} \right) \right] - [1 + 1.5\alpha_1(1-\chi)^2 + 2\alpha_2(1-\chi)^3], \quad (18)$$

$$\left(1 + \frac{bP}{4} - \frac{3b\chi^2}{8P} \right) \sqrt{P^2 + \chi^2} + \frac{3b\chi^4}{8P^2} \ln \left(\frac{P}{\chi} + \sqrt{1 + \frac{P^2}{\chi^2}} \right) - \chi_0 = 0. \quad (19)$$

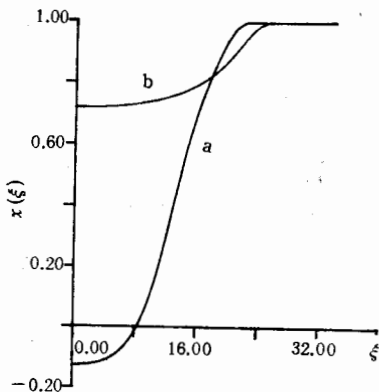


图1 典型(a)反常核和(b)正常核中核子的有效质量

χ_0 为一拉氏乘子. 对一给定核“半径” ξ_0 , 这组方程有一正规解 $\chi(\xi)$ (图1中的曲线b) 对应一本征值 χ_0 , 其中 $\chi(0)$ 接近正常核物质的 χ 值. 这就是有限正常核. 在解得 $\chi(\xi)$ 和 χ_0 后可从(19)中解得 $P(\xi)$, 再从(15)–(17)求得积分 J_1, J_2 和 J_3 . 此时仍不知道 β 的值. 但可得每核子结合能

$$\begin{aligned} B/A &= (mc^2 A - E)/A \\ &= mc^2 \left[1 - \left(J_2 + \frac{J_3}{2\alpha} \right) / J_1 \right]. \end{aligned} \quad (20)$$

对 $\xi_0 = 9$ 到 30 共八种情形数值求解, 并用 $J_1^{-1/3}$ 的多项式拟合了得到的数值函数 $\frac{B}{A}(J_1)$. 正如我们以

前对非相对论模型得到的结果[6]那样,这个函数有好的线性. 其常数项正好是作为输入的正常核物质中的每核子结合能 15.986MeV. 这可作为我们数值计算的一个检验. 斜率是负的,记作 $-\sigma$, $\sigma = 16.03\text{MeV}$. 引用[6]与[8]中导得的公式

$$E_s m_s = \left(\frac{8}{3\pi}\right)^{1/3} m\sigma, \quad (21)$$

其中 E_s 为核表面能. 代入上面数值计算得到 σ 值和表面能的经验值^[13] $E_s = 20.76\text{MeV}$, 得

$$m_s = 687\text{MeV}, \frac{g^2}{4\pi} = 6.15, \beta = 0.222. \quad (22)$$

它们都在合理范围内.

(14)式中不含库仑能 E_c . 可用微扰法将它算出. 对对称核, 质子数密度恰为质量数密度 $\rho(\xi)$ 的一半, 因而可由(10)得到. 我们对上述八种情况计算了 E_c , 并将由此得到的总结合能拟合成下式:

$$\begin{aligned} B(\text{MeV}) = & A(15.986 - 20.76A^{-1/3} - 4.410A^{-2/3} + 25.71A^{-1} \\ & - 15.30A^{-4/3}) - 0.736 \frac{Z^2}{A^{1/3}} (1 - 0.059A^{-1/3} \\ & - 1.423A^{-2/3} + 2.548A^{-1} - 1.498A^{-4/3}). \end{aligned} \quad (23)$$

方程组(18)和(19)还有另一组正规解(图 1 的曲线 a), 其 $\chi(0)$ 接近反常核物质的 χ 值. 这就是有限反常核. 不过, 看来只当核半径 ξ_0 大于某一临界值时才有这种解. 对 $\xi_0 \leq 20$ 的情形我们找不到这种解, 而对 $\xi_0 \geq 21$ 的情形我们找到了这种解. 对 $\xi_0 = 21$ 到 33 共五种情况数值求解出反常核的 $\chi(\xi)$, $P(\xi)$ 及有关的积分以及库仑能 E_c . 最后将总结合能拟合成下面的公式:

$$\begin{aligned} B(M_e V) = & A(68.74 - 372.76A^{-1/3} + 300.27A^{-2/3} \\ & + 370.43A^{-1}) - 0.813 \frac{Z^2}{A^{1/3}} (1 - 0.11A^{-1/3} \\ & + 2.68A^{-2/3} - 12.81A^{-1}). \end{aligned} \quad (24)$$

当然此式只在 A 不太小时适用.

正常核与反常核结合能随 A 的变化绘于图 2 中. 从这些关系中发现存在一临界质量数 $A_1 = 85$. 只当 $A \geq A_1$ 时反常核才是束缚的. 这是由于反常核的巨大的表面能. 从这些关系中还发现另一临界质量 $A_2 = 165$. 只当 $A \geq A_2$ 时反常核的结合能才大于正常核. 在 A 达 700 附近时反常核的每核子结合能可高达 15MeV, 这约为正常核的二倍. 我们看到这些数字并不特别大. 两临界质量数都是可达到的. 反常对称核在 $A > 3310$ 时由于库伦排斥而重新变成非束缚的

在相对论性理论中, 正负能量是同样地考虑,

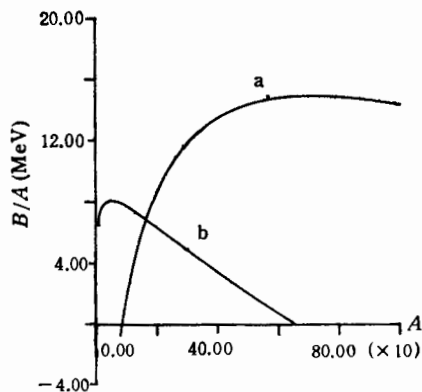


图 2 球形(a)对称反常核和(b)对称正常核中每核子结合能

因而正负质量也是同样地考虑。例如由 $\gamma_5 = \gamma_1\gamma_2\gamma_3\gamma_4$ 代表的线性变换恰改变一个狄喇克粒子质量的符号。但这一变换既不改变它的能量-动量张量也不改变电磁作用和其它规范作用的顶点,因而不改变它在引力作用、电磁作用和其它规范作用中的表现。当然,有些顶点是受这一变换影响的。其中最值得注意的是含 γ_5 的作用。核子与 π 场的作用即属这种作用。就是说,反常核子在 π 场中受的作用与正常核子相反。如果具有有效质量的反常核子果真存在,这类反常顶点的表现当是极有兴趣的课题。

参 考 文 献

- [1] T.D. Lee and G.C. Wick, *Phys. Rev.*, **D9** (1974), 2291.
- [2] J.D. Walecka Ann., *Phys.*, **83**(1974), 491.
- [3] A.K. Kerman and L.D. Miller, in "Second High Energy Heavy Ion Summer Study" (1974)LBL-3675.
- [4] N. K. Glendenning, *Nucl. Phys.*, **A480**(1988), 597.
- [5] J. Kunz, D. Masak and U. Post, *Phys. Lett.*, **186B**(1987), 124.
- [6] 张启仁,高能物理与核物理, **3**(1979),75.
- [7] 张启仁,高能物理与核物理, **4**(1980),576.
- [8] Qi-ren Zhang, in Nuclear Equation of State, PtA eds. W. Greiner and H. Stoecker, (Plenum, New York, 1989) p. 625.
- [9] A. Bohr and B. R. Mottelson, Nuclear Structure (Benjamin, New York, 1969) p. 256.
- [10] K. Huang and C. N. Yang, *Phys. Rev.*, **105** (1957), 767; C. De Dominicis and P. C. Martin, *Phys. Rev.*, **105**(1957), 1417.
- [11] W. D. Myers and W. J. Swiatecki, *Ann. Phys.*, **84**(1974), 186.

Finite Abnormal Nuclei

ZHANG QIREN LI XUNGUI

(Department of Technical Physics, Peking University, 100871)

ABSTRACT

We solved the problem for both the normal and abnormal finite nuclei from a simple relativistic model, and found critical mass numbers $A_1 = 85$ and $A_2 = 165$. Only nuclei with mass numbers $A \geq A_1$ may have bound abnormal states, and only abnormal nuclei with mass number $A \geq A_2$ have binding energies larger than those of corresponding normal nuclei. Abnormal nuclei become unbound again if $A > 3310$, because of the Coulomb repulsion.